А. А. ГУРГЕНЯН

УСТРАНЕНИЕ ОСОБЕННОСТИ РЕШЕНИЯ ДЛЯ МЕДЛЕННОЙ МАГНИТОЗВУКОВОЙ ВОЛНЫ С УЧЕТОМ КОНЕЧНОЙ ЭЛЕКТРОПРОВОДНОСТИ

Пусть в проводящей жидкости, находящейся в однородном магвитном поле, в некоторой точке О расположен источник возмущений (фиг. 1). Выберем ось ОХ по направлению магнитного поля, а ось ОУ перпендикулярно к нему. Линеаризованные уравнения плоской магнитвой гидродинамики с конечной электропроводностью имеют вид [1], [5]

$$\frac{\partial \rho}{\partial t} + \rho_0 \left(\frac{\partial v_x}{\partial x} + \frac{\partial v_y}{\partial y} \right) = q e^{-i\omega t} \delta(x) \delta(y)$$

$$\frac{\partial v_x}{\partial t} = -\frac{1}{\rho_0} \frac{\partial P}{\partial x}$$

$$\frac{\partial v_y}{\partial t} = -\frac{1}{\rho_0} \frac{\partial P}{\partial y} + \frac{B_0}{4\pi\rho_0} \left(\frac{\partial B_g}{\partial x} - \frac{\partial B_y}{\partial y} \right)$$

$$\frac{\partial P}{\partial t} = a_u^2 \frac{\partial \rho}{\partial t}$$

$$\frac{\partial B_x}{\partial t} = -B_0 \frac{\partial v_y}{\partial y} - \frac{\eta_1}{4\pi} \left(\frac{\partial^2 B_y}{\partial x \partial y} - \frac{\partial^2 B_x}{\partial y^2} \right)$$

$$\frac{\partial B_y}{\partial t} = B_0 \frac{\partial v_y}{\partial x} + \frac{\eta}{4\pi} \left(\frac{\partial^2 B_y}{\partial x^2} - \frac{\partial^2 B_x}{\partial y^2} \right)$$

где v_{x_1} v_{x_2} — компоненты скорости по осям, B_0 , a_0 , a_0 , a_0 — невозмущенные магнитное поле, скорость звука и плотность. P_{x_1} , P_{x_2} , P_{x_3} , P_{x_4} возмущенные значения давления, плотности и компонент магнитного поля, причем праная часть первого уравнения (1) соответствует источнику массы и точке O с расходом qe^{-4mt} . Примем $q=\frac{q_0}{(-iw)^k}$, т. е. пере-

ходим к периодическим решениям.

Для перехода от пернодического решения к некоторому персменному во времени решению применяется обратное преобразование Фурье по w.

Решение уравнений (1), когда правая часть первого уравнения (1) имеет вид $q_0t^{k-1}\sigma(t)/\Gamma(k)$, где $\sigma(t)=1$ при t>0 и $\sigma(t)=0$ при t<0, в случае бесконечной электропроводности $\sigma(t)=0$ в окрестност

особой точки B медленной магнитознуковой волны ABC (фиг. 1) методом интеграла Фурье исследовано в (4), причем вблизи B для давления получено

$$P_0 = B(-\xi)^{-\frac{1}{\delta}} F$$
(2)

где

$$\mathbf{S} = \left(\frac{2}{\mathbf{x}\frac{\partial^3 \mathbf{x}}{\partial \mathbf{y}^3}}\right)^{\frac{1}{3}} \left(\frac{\partial \mathbf{x}}{\partial \mathbf{y}} \mathbf{x} + \mathbf{y}\right)$$

$$B = \frac{q_0}{41^{\frac{-2}{2}}} = \frac{a_1(1-a_1^2k^2)(a_0^2+a_1^2-a_0^2a^2\alpha^3)}{(2a_1^2-a_1^2-a_0^2)} \left(\frac{2}{x^{\frac{2}{3}\alpha^3}}\right)^{\frac{1}{2}}$$
(3)

$$F = \frac{1}{2\pi} \frac{2^{k_1} u^{\frac{1}{6}} \Gamma(k_1) \Gamma\left(\frac{1}{6} - k_1\right) \cos \pi k_1}{\Gamma\left(\frac{1}{6} + k_1\right) \sin \pi\left(\frac{1}{6} + k_1\right)} F_1 - \frac{2^{-k_1} u^{\frac{1}{6}}}{k_1 \Gamma(k_1) \sin \pi k_1} F_2$$

$$0 > u$$

$$F = \frac{1}{2\pi} \frac{2^{k_1} u^{\frac{1}{6}} \Gamma(k_1) \Gamma(\frac{1}{6} - k_1) \cos \pi k_1}{\Gamma(\frac{1}{6} + k_1) \sin \pi(\frac{1}{6} + k_1)} F_1 + \frac{2^{-k_1} u^{\frac{1}{6}} \cos \pi k_1}{k_1 \Gamma(k_1) \sin \pi k_1} F_2 - u < \theta < u$$
(4)

$$\frac{2^{1} u^{n} \Gamma(k_{1}) \cos^{2}k_{1} \sin^{2}k_{1}}{\Gamma(\frac{5}{n} + k_{1}) \Gamma(\frac{1}{n} + k_{1}) (-1 2 \cos 2\pi k_{1})}$$

$$\frac{2^{-k_{1}} u^{n}}{k_{1} \Gamma(k_{1})} \Gamma_{2} \qquad 0 < -u$$

причем $k_1=k=3/2,\; u=2/3\; (-1)^2,\; \Theta=ax=py=t,\;\; \Theta=u=$ уравнение волны $BC,\;\; \Theta=-u=$ уравнение $AB\; (фиг.\; 1)$

$$F_{2} = \left[\Theta\right]^{k_{1} - d} F\left(-\frac{u^{2}}{2} + \frac{1}{12}, -\frac{1}{2} + \frac{1}{12}, -k_{1} + 1, 1 - \frac{u^{2}}{\Theta^{2}}\right)$$

$$F_{2} = \left[\Theta\right]^{k_{1} - d} \left[1 - \frac{u^{2}}{\Theta^{2}}\right]^{m} F\left(\frac{1}{2} + \frac{1}{12}, -\frac{1}{2} + \frac{7}{12}, k_{1} + 1, 1 - \frac{u}{\Theta^{2}}\right)$$
(5)

Решение (2) имеет особенность при u = 0, $\theta = 0$. Для устранения особенности нужно учитывать либо нелинейность, либо диссипативные вффекты (вязкость, конечную электропроводность и т. д.).

Искаючая на системы (1) v_x , v_g , ρ , B_x , B_y , получим уравнение для давления [2]

$$\left(\left(\frac{\partial^{2}}{\partial t^{2}}-a_{0}^{2}\frac{\partial^{2}}{\partial x^{2}}\right)\left(\frac{\partial^{2}}{\partial t^{2}}-a_{1}^{2}\left(\frac{\partial^{2}}{\partial x^{2}}+\frac{\partial^{2}}{\partial y^{2}}\right)\right)-a_{0}^{2}\frac{\partial^{2}}{\partial t^{2}}\frac{\partial^{2}}{\partial y^{2}}+ \\
+\frac{\partial}{\partial t}\left(\frac{\partial^{2}}{\partial x^{2}}+\frac{\partial^{2}}{\partial y^{2}}\right)\frac{\gamma_{i}}{4\pi}\left(a_{0}^{2}\frac{\partial^{2}}{\partial y^{2}}-\frac{\partial^{2}}{\partial t^{2}}+a_{0}^{2}\frac{\partial^{2}}{\partial x^{2}}\right)\right)P=\psi$$
(6)

В силу малости η правую часть уравнения (6) можно взять из решения при $\eta=0$ [4]

$$\phi = F = \frac{q_0 \circ a_1^2}{4a^2 F} a_0^2 (\omega^2 - a_1^2 k^2)$$
 (7)

rae $k^1 = a^2 + \beta^2$

Решение уравнения (б) ищем в виде [5]

$$P = e^{-i-t} \int_{-\infty}^{\infty} e^{i\alpha x + i\omega x} F_1(x, \beta, \omega) dz d\beta$$
 (8)

Подставляя (8) в (6) и применяя формулу преобразования Фурье во x, y, можно для подинтегральной функции получить

$$F_1 = \frac{F}{G} = \frac{\frac{\eta_0 \, \text{m}}{4\pi} \, a^2 \, (\text{m}^2 - a^2 k^2)}{\text{m}^2 \, \{\text{m}^2 - (a^2 + a_1^2) \, k^2\} - a_0^2 \, a^2 \, a^2 \, k^2 + \frac{\eta_1}{4\pi} + \frac{1}{4\pi} \, (\text{m}^2 - a_0^2 \, k^2)}$$
(9)

В дальнейшем изучается окрестность фронтов медленной магнитозвуковой волны ABC, поэтому следует исследовать особенности водинтегрального выражения (8), соответствующие G=0, где G=0 есть уравнение поверхности нормалей для (6).

Представим С в виде

$$G = G_0 - \frac{1}{4\pi} \ln k^2 (\omega^2 - a^2 k^2) \tag{10}$$

где $G_0 = 0$ — уравнение поверхности нормалей (б) при 0 (фиг. 2).

Разлагая α в ряд по степеням η и оставляя η в первой степени $\alpha = \alpha_0 + \alpha_1$, из уравнення G = 0 можно найти

$$z_1 = i \pi^2 / T \tag{11}$$

rge

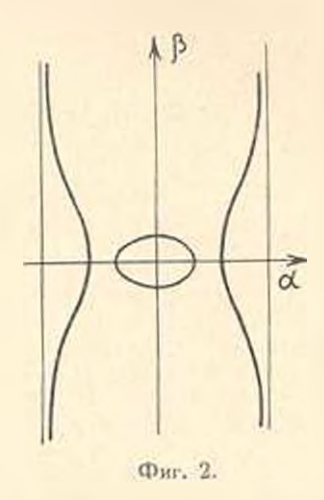
$$T = \frac{k^2 \left(1 - a_0^2 k^2\right)}{8^{-2} \left(a_0 - a_1^2 - a_0 a_1^2 a_0 k^2\right)} \tag{12}$$

Примения теорему о вычетах, для давления из (8) можно найти

$$P = \pi i e^{-i\omega t} \qquad \frac{F\left[x\left(\beta_{1},\omega\right),\ \beta_{2},\omega\right]}{G\left[x\left(\beta_{1},\omega\right),\ \beta_{3},\omega\right]} d\beta \tag{13}$$

где $\alpha = \alpha(\beta, m)$ есть уравнение поверхности G = 0 (фиг. 2), причем для каждого значения имеется по два значения соответственно для быстрой и медленной волны.

В решении (13) вместо суммы четырех интегралон, соответствующих указанным значениям з, берется только один, соответствующий бегущей вправо медленной магнитозвуковой волне ABC.



В интеграле (13) в силу малости в подинтегральной функции G_a можно брать $\pi = a_{0a}$ Если обозначить $\frac{1}{w} = \frac{1}{w} = 3a_{0a}$ и в дальнейшем индексы отбросить, то (13) запишется в виде

$$P = \pi i \omega e^{-i\omega t} e^{-i\omega^t T \eta_E} \frac{1}{G_a(\alpha, \beta)} \int_{-\infty}^{\infty} d\beta \qquad (14)$$

К интегралу (14) можно применить метод перевала и определить решение на фронте волны ABC [4].

Но наиболее интересно поведение решения пблизи острия B, где кривизна волны ABC бесконечва и соответственно $\frac{a}{a}=0$. Тогда можно для ныражения $ax=\beta y$ в (14) взять разложение по степеням $\beta=1$ полагая при этом $\frac{\partial^2 a}{\partial x^2}=0$ при $\beta=\beta_1$. Согласно [4] решение (14) можно представить в виде

$$P = B \frac{1}{(-i)} e^{i \cdot h} e^{-i \cdot h}$$
 (15)

гле з и B даются формулами (3), $\Theta = 2x + \beta y - t$, $\Phi - функция Эйри. Обратное преобразование Фурье для (15) в случае <math>\eta = 0$ найдено в [4] и имеет вид (2). Воспользовавшись формулой обратного преобразования Фурье для функции, [6]

$$e^{-w^2T^{7,x}} = \frac{e^{-\frac{\xi^2}{4T^{9,5}}}}{1 - \frac{4-T\eta x}{4}}$$
 (16)

на основании теоремы о свертке с учетом того, что $t=-\theta$, меняя знак τ , для (15) получим

$$P = \frac{1}{1 - \frac{4\pi T r_i x}{4\pi T r_i x}} \int_{-\pi}^{\pi} e^{-\frac{4\pi T r_i x}{4T r_i x}} P_0 \left(-6 + \epsilon_i + 1\right) d\epsilon$$
 (17)

Подставляя (2) в (17), можно получить решение в окрестности точ-

$$P = \frac{1}{1 - 4 - T \tau_{1,x}} \left\{ \int_{0}^{\theta - u} P_{01} \left(-\theta + \tau_{1}, \xi \right) d\tau + e^{-\frac{1}{4 T \tau_{1,x}}} P_{02} \left(-\theta + \tau_{2}, \xi \right) d\tau + e^{-\frac{1}{4 T \tau_{1,x}}} P_{03} \left(-\theta + \tau_{2}, \xi \right) d\tau + e^{-\frac{1}{4 T \tau_{1,x}}} P_{03} \left(-\theta + \tau_{2}, \xi \right) d\tau + e^{-\frac{1}{4 T \tau_{1,x}}} P_{03} \left(-\theta + \tau_{2}, \xi \right) d\tau + e^{-\frac{1}{4 T \tau_{1,x}}} P_{03} \left(-\theta + \tau_{2}, \xi \right) d\tau + e^{-\frac{1}{4 T \tau_{1,x}}} P_{03} \left(-\theta + \tau_{2}, \xi \right) d\tau + e^{-\frac{1}{4 T \tau_{1,x}}} P_{03} \left(-\theta + \tau_{2}, \xi \right) d\tau + e^{-\frac{1}{4 T \tau_{1,x}}} P_{03} \left(-\theta + \tau_{2}, \xi \right) d\tau + e^{-\frac{1}{4 T \tau_{1,x}}} P_{03} \left(-\theta + \tau_{2}, \xi \right) d\tau + e^{-\frac{1}{4 T \tau_{1,x}}} P_{03} \left(-\theta + \tau_{2}, \xi \right) d\tau + e^{-\frac{1}{4 T \tau_{1,x}}} P_{03} \left(-\theta + \tau_{2}, \xi \right) d\tau + e^{-\frac{1}{4 T \tau_{1,x}}} P_{03} \left(-\theta + \tau_{2}, \xi \right) d\tau + e^{-\frac{1}{4 T \tau_{1,x}}} P_{03} \left(-\theta + \tau_{2}, \xi \right) d\tau + e^{-\frac{1}{4 T \tau_{1,x}}} P_{03} \left(-\theta + \tau_{2}, \xi \right) d\tau + e^{-\frac{1}{4 T \tau_{1,x}}} P_{03} \left(-\theta + \tau_{2}, \xi \right) d\tau + e^{-\frac{1}{4 T \tau_{1,x}}} P_{03} \left(-\theta + \tau_{2}, \xi \right) d\tau + e^{-\frac{1}{4 T \tau_{1,x}}} P_{03} \left(-\theta + \tau_{2}, \xi \right) d\tau + e^{-\frac{1}{4 T \tau_{1,x}}} P_{03} \left(-\theta + \tau_{2}, \xi \right) d\tau + e^{-\frac{1}{4 T \tau_{1,x}}} P_{03} \left(-\theta + \tau_{2}, \xi \right) d\tau + e^{-\frac{1}{4 T \tau_{1,x}}} P_{03} \left(-\theta + \tau_{2}, \xi \right) d\tau + e^{-\frac{1}{4 T \tau_{1,x}}} P_{03} \left(-\theta + \tau_{2}, \xi \right) d\tau + e^{-\frac{1}{4 T \tau_{1,x}}} P_{03} \left(-\theta + \tau_{2}, \xi \right) d\tau + e^{-\frac{1}{4 T \tau_{1,x}}} P_{03} \left(-\theta + \tau_{2}, \xi \right) d\tau + e^{-\frac{1}{4 T \tau_{1,x}}} P_{03} \left(-\theta + \tau_{2}, \xi \right) d\tau + e^{-\frac{1}{4 T \tau_{1,x}}} P_{03} \left(-\theta + \tau_{2}, \xi \right) d\tau + e^{-\frac{1}{4 T \tau_{1,x}}} P_{03} \left(-\theta + \tau_{2}, \xi \right) d\tau + e^{-\frac{1}{4 T \tau_{1,x}}} P_{03} \left(-\theta + \tau_{2}, \xi \right) d\tau + e^{-\frac{1}{4 T \tau_{1,x}}} P_{03} \left(-\theta + \tau_{2}, \xi \right) d\tau + e^{-\frac{1}{4 T \tau_{1,x}}} P_{03} \left(-\theta + \tau_{2}, \xi \right) d\tau + e^{-\frac{1}{4 T \tau_{1,x}}} P_{03} \left(-\theta + \tau_{2}, \xi \right) d\tau + e^{-\frac{1}{4 T \tau_{1,x}}} P_{03} \left(-\theta + \tau_{2}, \xi \right) d\tau + e^{-\frac{1}{4 T \tau_{1,x}}} P_{03} \left(-\theta + \tau_{2}, \xi \right) d\tau + e^{-\frac{1}{4 T \tau_{1,x}}} P_{03} \left(-\theta + \tau_{2}, \xi \right) d\tau + e^{-\frac{1}{4 T \tau_{1,x}}} P_{03} \left(-\theta + \tau_{2}, \xi \right) d\tau + e^{-\frac{1}{4 T \tau_{1,x}}} P_{03} \left(-\theta + \tau_{2}, \xi \right) d\tau + e^{-\frac{1}{4 T \tau_{1,x}}} P_{03} \left(-\theta + \tau_{2$$

Однако интересно рассмотреть поведение решения на луче OB u=0, т. е. $x=\frac{\partial x}{\partial x}$ x-y=0. В этом случае (17) можно представить в виде

$$P = \frac{1}{\sqrt{4\pi T_{7,x}}} \left\{ \int_{0}^{0} e^{-\frac{\pi}{4T_{7,x}}} P_{01}(\theta - \tau, 0) d\tau - \frac{\pi}{4T_{7,x}} P_{02}(\tau - \theta, 0) d\tau \right\}$$
(19)

где P_{01} , P_{03} соответственно решения (2) в области 0 = u на луче u = 0, которые можно получить, воспользовавшись представлением гипергсометрических функций (5) при z = 1

$$F_{1} = \left| \theta \right|^{k_{1} - \frac{1}{6}} F\left(-\frac{k_{1}}{2} + \frac{1}{12}, -\frac{k_{1}}{2} + \frac{7}{12}, -k_{1} + 1, 1\right) \approx$$

$$\approx \frac{\Gamma\left(\frac{1}{3}\right) \Gamma\left(-k_{1} + 1\right) \left| \theta \right|^{k_{1} - \frac{1}{6}}}{\Gamma\left(-\frac{k_{1}}{2} + \frac{11}{12}\right) \Gamma\left(-\frac{k_{1}}{2} + \frac{5}{12}\right)}$$
(20)

5 Известия АН Армянской ССР, Мехапика, № 4

$$F_{2} = \left|\theta\right|^{k_{1} - \frac{1}{6}} \left|1 - \frac{\frac{1}{6^{2}}}{6^{2}}\right|^{k_{1}} F\left(\frac{k_{1}}{2} + \frac{1}{12}, \frac{k_{1}}{2} + \frac{7}{12}, k_{1} + 1, 1\right) \approx$$

$$= \frac{\Gamma\left(\frac{1}{3}\right) \Gamma\left(k_{1} + 1\right) \left|\theta\right|^{k_{1} - 6}}{\Gamma\left(\frac{k_{1}}{2} + \frac{11}{12}\right) \Gamma\left(\frac{k_{1}}{2} - \frac{5}{12}\right)}$$
(20)

Используя эти выражения, из (2) для $P_{\rm H}$ и $P_{\rm 03}$ получим

$$P_{03} = B\left(\frac{1}{3}\right)^{\frac{1}{6}} \frac{\Gamma\left(\frac{1}{3}\right)\Gamma\left(\frac{1}{6} - k_1\right)\sin\pi\left(\frac{1}{6} + k_1\right)\left(-\theta\right)^{k_1 - \frac{1}{6}}}{\pi\sqrt{\pi}}$$

$$P_{01} = B\left(\frac{1}{3}\right)^{\frac{1}{6}} \frac{\Gamma\left(\frac{1}{3}\right)\Gamma\left(\frac{1}{6} - k_1\right)\sin\frac{\pi}{3}\theta^{k_1 - \frac{1}{6}}}{\pi\sqrt{\pi}}$$

$$(21)$$

Обозначая $A = \frac{B\Gamma\left(\frac{1}{3}\right)\Gamma\left(\frac{1}{6}-k_1\right)}{3^{\frac{1}{6}}+1^{-\pi}}$ и подставляя (21) в (19),

найдем

$$P = \frac{A\sin\frac{\pi}{3}}{1 \cdot 4\pi T \eta x} \int (\theta - \tau)^{k_1 - \frac{1}{6}} e^{-\frac{\tau^2}{4T \eta x}} d\tau + \frac{A\sin^2(\frac{1}{6} + k_1)}{\sqrt{4\pi T \eta x}} \int (\tau - \theta)^{k_1 - \frac{1}{6}} d\tau d\tau$$
(22)

Если в первом интеграле сделать замену переменной $\theta - \tau = y$, а во втором $\tau = \theta = z$, то интегралы приводятся к известному виду [7]

$$\int_{0}^{\infty} y^{k_{1}-\frac{1}{6}} e^{-\frac{(6-y)^{4}}{4T\eta x}} dy =$$

$$= (2T\eta x)^{\frac{k_{1}}{2}+\frac{5}{12}} \Gamma\left(k_{1}+\frac{5}{6}\right) \exp\left(-\frac{6^{2}}{8T\eta x}\right) D_{-k_{1}-\frac{5}{6}} \left(-\frac{6}{\sqrt{2T\eta x}}\right)$$

$$\int_{0}^{\infty} z^{k_{1}-\frac{1}{6}} e^{-\frac{(6+x)^{2}}{4T\eta x}} dz = (23)$$

$$= (2T_{\gamma_i x})^{\frac{k_i}{2} - \frac{5}{11}} \mathbb{E}\left(k_i = \frac{5}{6}\right) \exp\left(-\frac{A^2}{8T_{\gamma_i x}}\right) D_{-1-1}\left(\frac{6}{12T_{\gamma_i x}}\right) \tag{23}$$

гле D -- функция параболического цилинара.

Окончательно для давления на луче u=0 получаетен

$$P = A\Gamma\left(k_{1} + \frac{5}{6}\right) \exp\left(-\frac{6}{8T\eta_{1}x}\right) \frac{(2T\eta_{1}x)^{\frac{1}{2} - 12}}{1 + 4T\eta_{2}x} \times \left(-\frac{6}{1 + 2T\eta_{1}x}\right) \sin\frac{\pi}{3} + D_{-1-1}\left(\frac{6}{1 + 2T\eta_{2}x}\right) \sin\frac{\pi}{6} + k_{1}\right)$$
(24)

В частном случае при $\delta = 0$, что соответствует решению в самой точке B_i используя соотношение |7|

$$D_{-k,-\frac{5}{6}}(0) = \frac{1}{\Gamma\left(k_1 + \frac{5}{6}\right)} \frac{\left(\frac{k_1}{2} - \frac{7}{12}\right)!}{2\cdot \left(\frac{1}{2}\right)^{\frac{k_1}{2} \cdot \frac{1}{12}}} - \frac{\left(\frac{k_1}{2} + \frac{5}{12}\right)}{\Gamma\left(k_1 - \frac{5}{6}\right)} 2^{\frac{1}{12}}$$
(25)

ия (24) можно получить

$$P = A \frac{(2T_{7,x})^{\frac{1}{4} + \frac{1}{12}}}{1 \frac{4}{4} \cdot T_{7,x}} \Gamma\left(\frac{k_1}{2} + \frac{5}{12}\right) 2^{\frac{k_1}{2} - \frac{1}{12}} \left| \sin\frac{\pi}{3} + \sin\pi\left(\frac{1}{6} + k_1\right) \right|$$
(26)

Решение в втом случае запишется в виде

$$P = BV \overline{I_0} \frac{dh}{(-h^0)^2} e^{hh} e^{-hT_0} \Phi \left(e^{hh} \xi\right) \tag{27}$$

TAC

$$B = \frac{q_0}{4\pi} \frac{a_0^2 (1 - a^2 k^2)}{G_0(a_0, x^2)} \left(\frac{2}{a_0^{12}} \right) \frac{1}{2 x^{0^2 x}} a_0 x + 3y + 7x - 1$$

Обратное преобрадонание Фурье для (27) при т О найдено в [3] и имеет пид

$$\frac{P_0}{\frac{A_0}{\Gamma(1+k_1)}} = \begin{vmatrix}
A_3F_1 & \theta > u \\
A_3F_1 + 2^{-k_1} \left(\frac{2}{3}\right)^{\frac{1}{6}} F_2 & -u < \theta < u \\
A_4F_1 - 2^{-k_1-1} \left(\frac{2}{3}\right)^{\frac{1}{6}} \frac{\cos\pi k_1}{\sin\pi k_1} F_2 & \theta < -u
\end{vmatrix}$$
(28)

где

$$A_{3} = \frac{k_{1}}{2\pi} \frac{2^{k_{1}} \Gamma^{2}(k_{1}) \Gamma\left(\frac{1}{6} - k_{1}\right) \sin\pi\left(k_{1} + 1\right)}{\Gamma\left(\frac{1}{6} + k_{1}\right) \cos\pi\left(k_{1} + \frac{2}{3}\right)}$$

$$A_{4} = -k_{1} \frac{2^{k_{1}+1} \Gamma^{2}(k_{1}) \left(\frac{2}{3}\right)^{\frac{1}{6}} \cos2\pi k_{1}}{(1 - 2\cos2\pi k_{1}) \Gamma\left(k_{1} + \frac{1}{6}\right) \Gamma\left(k_{1} + \frac{5}{6}\right)}$$
(29)

причем F_1 и F_2 даются формулами (5).

Обратное преобразование Фурье (27) с учетом конечной электропроводности найдется сверткой использованием соотношения (16)

$$P = \frac{1}{1 - 4\pi T \gamma_{i} x} \int_{-\infty}^{\infty} e^{-\frac{\tau}{4T \gamma_{i} x}} P_{0} \left(-0 + \tau, \tau \right) d\tau \tag{30}$$

Подставляя (28) в (30), можно получить решение в окрестности точки B

$$P = \frac{1}{1 + \frac{1}{4\pi T r_{i} x}} \int_{0}^{\xi - u} e^{-\frac{e^{3}}{4T r_{i} x}} P_{01}(-\theta + -\xi) = +$$

$$+ \frac{1}{1 + \frac{1}{4\pi T r_{i} x}} \int_{0}^{\theta + u} e^{-\frac{e^{3}}{4T r_{i} x}} P_{02}(-\theta + -\xi) = +$$

$$-\frac{1}{1 + \frac{1}{4\pi T r_{i} x}} \int_{0}^{\theta + u} e^{-\frac{e^{3}}{4T r_{i} x}} P_{03}(-\theta + -\xi) = +$$
(31)

где P_{02} , P_{02} , P_{03} вычисляются по формулам (28). При n=0

$$P_{01} = A_{3} \frac{\Gamma\left(\frac{1}{3}\right)\Gamma\left(-k_{1}+1\right)\theta^{k_{1}-\frac{1}{6}}}{\Gamma\left(-\frac{k_{1}}{2}+\frac{11}{12}\right)\Gamma\left(-\frac{k_{1}}{2}+\frac{5}{12}\right)}$$

$$P_{03} = A_{4} \frac{\Gamma\left(\frac{1}{3}\right)\Gamma\left(-k_{1}+1\right)\left(-\theta\right)^{k_{1}-\frac{1}{6}}}{\Gamma\left(-\frac{k_{1}}{2}+\frac{11}{12}\right)\Gamma\left(-\frac{k_{1}}{2}+\frac{5}{12}\right)} - (32)$$

$$-2^{-k_{1}-1}\left(\frac{2}{3}\right)^{\frac{1}{6}} \frac{\cos\pi k_{1}\Gamma\left(\frac{1}{3}\right)\Gamma\left(k_{1}+1\right)\left(-\theta\right)^{k_{1}-\frac{1}{6}}}{\sin\pi k_{1}\Gamma\left(\frac{k_{1}}{2}+\frac{11}{12}\right)\Gamma\left(\frac{k_{1}}{2}+\frac{5}{12}\right)}$$

При u=0, т. е. на луче $\xi=rac{\partial a}{\partial \beta}\,x+y=0$ решение (31) запишется в виде

$$P = \frac{1}{V 4\pi T \eta x} \left\{ \int_{-\infty}^{\theta} e^{-\frac{e^{2}}{4T \eta x}} P_{01}(\theta - \tau, 0) d\tau + \int_{\theta}^{\infty} e^{-\frac{e^{2}}{4T \eta x}} P_{03}(\tau - \theta, 0) d\tau \right\}$$
(33)

После вычисления этих интегралов, аналогично (22), для давления на на луче u=0 получится

$$P = \frac{(2T\eta_{X})^{\frac{k_{1}}{2} + \frac{5}{12}}}{V 4\pi T\eta_{X}} \Gamma \left(k_{1} + \frac{5}{6}\right) \exp\left(-\frac{6^{2}}{8T\eta_{X}}\right) \times \left\{CD_{-k_{1} - \frac{5}{6}}\left(-\frac{6}{V 2T\eta_{X}}\right) + BD_{-k_{1} - \frac{5}{6}}\left(\frac{6}{V 2T\eta_{X}}\right)\right\}$$
(34)

где C и B — коэффициенты при P_{a_3} и P_{a_3} в (32).

В частности, для точки B_i т. е. при $\theta=0$, используя соотношение (25), решение можно получить в пиде

$$P = \frac{(2T_{7,x})^{\frac{1}{2}}}{1-4\pi T_{7,x}} \operatorname{l}^{1}\left(\frac{k_{3}}{2} - \frac{5}{12}\right) 2^{\frac{1}{2}-12} \left(C + B\right)$$

Автор выражает сною благодарность чанд, физ.-мат. наук Багдоеву А. Г. за постановку задачи и большую помощь в ее решении.

Ереванский политехцический институт им. К. Маркса

Ա. Ա. ԴՈՒՐԳԵՆՏԱՆ

ԴԱՆԴԱՂ ՄԱԳՆԻՍԱՁԱՑՆԱՑԻՆ ԱԼԻՔԻ ԼՈՒԾՄԱՆ ԵԶԱԿԻՈՒԹՅԱՆ ՎԵՐԱՅՈՒՄԸ ՎԵՐՋԱՎՈՐ ԷԼԷԿՏՐԱՀԱՂՈՐԴԱԿԱՆՈՒԹՅԱՆ ՀԱՇՎԱՌՈՒՄՈՎ

Ամփոփում

Հոդվածում որոչվում են դազի պարամետրերը դանգաղ մազնիսածալճային ալիսի եզակի կետի մոտ։ Մազնիսական Տիգրոդինամիկայի հավաստբումների սիստեմի լուծումը փնարվում է հուրյեի ինտեղթայի տեսքով և արտահալավում է Էլրիի ֆունկցիայան

Լապլասի հակադարձ ձևափոխումով գտնված է լուծումը փախուլիի (свертка) անարով, որը պարունակում է անսանման հաղորդականություն ուննցող հեղուկի լուծումը, արտահալաված հիպհրհրկրաչափական շարքհրով։ Եղակի կնաով անցնող հառադալին վրա լուծումը արտահալավում է պարաթոլական դլանի ֆունկցիալով։

ELIMINATION OF THE SOLUTION'S SINGULARITY FOR THE SLOW MAGNETOACOUSTIC WAVE WITH FINITE CONDUCTIVITY

A. A. GURGUENIAN

Summary

The problem of the gas parameters determination near the singular point of the slow magnetoacoustic wave is considered. The solution of the equations of magnetogasodynamics, taking into account the finite conductivity, is found in the Fourier Integral form and is expressed by the Airy function.

The inverse Laplace transform permits to find the solution by the convolution containing the solution for an infinite conducting fluid expressed by hypergeometric functions. On the ray, passing throughout a singular point, the solution is given by the parabolic cylinder function.

ЛИТЕРАТУРА

- 1. Рахматулин X. А., Сагомонян А. Я., Бунимонич А. И., Зверев И. Н. Газован динамика. М., 1965.
- 2. Багдоев А. Г. Некоторые нелипейные задачи о движении ежимаемой жидкости Ерепан, 1967.
- 3. Вагдоса А. Г., Отанян Г. Г. Определение параметров газа вблизи каустики. Дока. АН Арм. ССР, т. XLIX, №2, 1969.
- Тургенян А. А. Определение параметров газа яблизи особой точки медленной магянтозвуковой волны. Изв. АН Арм. ССР. Моханико, т. XXIII, №1, 1970.
- Lighthill M. J. Studies on magnetohydrodynamic waves. Philosophical Trans. of the Royal Soc.; vol. 252, 1960.
- 6. Владимиров В. С. Ураннения математической физики. М., 1967.
- Градштейн И. С. и Рыжин И. И. Таблицы интегралов, сумм, рядов и произведений. Фияматена, М., 1962.